



تهیه‌ی نانوذرات گارنت ایتریوم آهن (YIG) به روش سل-ژل و بررسی ویژگی‌های مغناطیسی آن

معصومه یارمحمدی سطري^۱، مرتضى مظفرى^۲، جمشيد عميقيان^۱

۱- گروه فيزيك، دانشکده علوم، دانشگاه اصفهان، اصفهان

۲- گروه فيزيك، دانشگاه رازى، كرمانشاه

(دریافت مقاله: ۸۸/۷/۲۸، نسخه نهایی: ۸۸/۱۲/۱۲)

چکیده: در این پژوهش نانوذرات گارنت ایتریوم آهن با فرمول شیمیایی $Y_3Fe_5O_{12}$ به روش سل-ژل اسید سیتریک تهیه شد. نانوذرات تهیه شده به روش پراش سنجی پرتو ایکس (XRD)، TG-DTA و FT-IR و ترازوی فارادی (VSM) و ترازوی مغناطیسی (M-T) اندازه‌گیری شد. نتایج الگوی پراش سنجی پرتو ایکس نشان‌دهنده‌ی کاهش کمینه دمای برشتن نانوذرات گارنت ایتریوم آهن در این روش نسبت به کمینه دمای برشتن در تهیه‌ی همین گارنت به روش متداول سرامیکی است. مغناطیش اشباعی و دمای کوری نانوذرات گارنت ایتریوم آهن نسبت به نمونه‌ی کپهای کمتر است که این کاهش‌ها به ترتیب بر اساس مدل پوسته-هسته و کاهش برهم‌کنش‌های ابرتبدالی بحث شده است.

واژه‌های کلیدی: گارنت ایتریوم آهن، نانوذرات، روش سل-ژل، ویژگی‌های مغناطیسی.

است. در ایران نیز توجه فراوانی به تهیه نانومواد و شناسایی ویژگی‌های آن‌ها شده است. در تهیه‌ی نانوذرات تک-فاز گارنت ایتریوم آهن روش‌های گوناگون وجود دارد که متداول‌ترین آن‌ها مخلوط کردن اکسیدهای Y_2O_3 و Fe_2O_3 و Fe پخت در دماهای بالاتر از $1300^{\circ}C$ است [۳].

سل-ژل یک روش شیمیایی (تر) است که نسبت به روش خشک از برتری‌هایی همچون سادگی، هزینه‌ی پایین و آلایندگی کمتر در محصول نهایی برخوردار است. در این پژوهش نانوذرات گارنت ایتریوم آهن به روش سل-ژل تهیه و پارامترهای مغناطیسی آن اندازه‌گیری و با پارامترهای مغناطیسی YIG کپهای مقایسه شد.

مقدمه

گارنت ایتریوم آهن (YIG)، فری‌مغناطیس با فرمول شیمیایی $Y_3Fe_5O_{12}$ است که هشت یکای فرمول شیمیایی آن تشکیل یک ساختار مکعبی مرکز حجمی (bcc) با سه زیر شبکه‌ی چهار وجهی، هشت وجهی و دوازده وجهی را می‌دهد. در این ساختار پنج یون آهن سه ظرفیتی، دو جایگاه هشت وجهی و سه جایگاه چهار وجهی را می‌گیرند و یون‌های ایتریوم سه ظرفیتی در جایگاه دوازده وجهی قرار می‌گیرند [۱]. گارنت‌های ایتریوم آهن و نیز جانشانی شده‌ی آن کاربردهای صنعتی فراوانی در دستگاه‌های میکروموجی و فرماصوتی دارند [۲]. ویژگی‌های تازه‌ای که مواد در ابعاد نانو از خود نشان می‌دهند، انقلاب شگرفی را در صنایع گوناگون به وجود آورده

بحث و برداشت

شکل ۱ الگوی پراش پرتو ایکس، ژل خشکیده و ژلهای پخته شده به مدت ۲ ساعت در دماهای گوناگون تا 880°C را نشان می‌دهد. گرچه در الگوی پراش پرتو ایکس ژل خشکیده، برآمدگی در زاویه‌ی پراش 32° دیده می‌شود ولی قله‌ی مشخصی که نشان دهنده‌ی فاز بلورین باشد، دیده نمی‌شود و بیانگر آمورف بودن محصول است. الگوی پراش پرتو ایکس پودر پخته شده در دمای 780°C شامل قله‌های مربوط به فاز خواسته‌ی گارنت ایتریوم آهن مکعبی و فاز ناخواسته‌ی چارگوشی آن است.

برای دستیابی به فاز خواسته‌ی YIG، نمونه در دمای 880°C به مدت ۲ ساعت پخته شد. همان‌گونه که در الگوی پراش پرتو ایکس این نمونه دیده می‌شود، فاز مورد نظر (مکعبی YIG) به طور کامل تشکیل شده است و فاز چارگوشی آن کاملاً از بین رفته است. میانگین اندازه‌ی بلورک‌ها با استفاده از رابطه‌ی (۱) و داده‌های مربوط به الگوهای XRD محاسبه و برابر 39nm به دست آمد.

شکل ۲ الگوهای FT-IR ژل خشکیده و پخته شده‌ی YIG در دماهای 680°C و 880°C را نشان می‌دهد و بیانگر تغییرات شیمیایی و ساختاری روی داده، به هنگام پخت تا دستیابی به یک محصول تکفاز است. چنانکه در شکل دیده می‌شود، الگوی FT-IR ژل خشکیده دارای نواری در عدد موج 3440cm^{-1} است و با توجه به آن که در گستره‌ی 3450cm^{-1} - 3400cm^{-1} قرار دارد، نشانگر وجود پیوند O-H است [۴] و با توجه به وجود اسید سیتریک، آب و اتیلن‌گلیکول در مواد اولیه، وجود نوار وابسته به O-H توجیه‌پذیر است [۵، ۶]. نوارهایی در عدد موج 3740cm^{-1} و 3850cm^{-1} وجود دارد که شناسایی نشند. همچنین نوارهایی با عدد موج 1784cm^{-1} و 1728cm^{-1} وجود دارند که به پیوند C=O وابسته است [۴] که این پیوند در ساختار اسید سیتریک وجود دارد و نیز نوارهایی با عدد موج 1560cm^{-1} و 1399cm^{-1} دیده می‌شود که به گروه نیترو (N=O) در یون NO_3^- وابسته است [۴] که وجود این نوار به دلیل پیوندی است که از ترکیب اسید سیتریک و نیترات‌ها در ساختار ژل به وجود می‌آید [۵]. با پختن نمونه در دمای 680°C ، شدت این نوارها کاهش می‌یابد و نواری در 2342cm^{-1} پدید می‌آید که مربوط به CO_2 موجود در نمونه

فرآیندهای آزمایش

برای تهییه نانوذرات YIG نخست مواد اولیه شامل نیترات آهن (با خلوص ۹۹٪)، نیترات ایتریوم (با خلوص ۹۹٪) و پودر اسید سیتریک (با خلوص ۹۹.۵٪)، از شرکت مرک آلمان با نسبت‌های استوکیومتری [عنصر سنجی] مخلوط شدند. برای این کار، پودر اسید سیتریک در آب م قطر حل و آن گاه نیترات‌های آهن، ایتریوم و سپس مقدار کمی اتیلن گلیکول به محلول اضافه شد. این محلول بروی همزن مغناطیسی در دمای 80°C به ژل تبدیل شد. ژل به دست آمده به مدت ۳۶ ساعت در دمای 200°C گرما داده شد تا خشک شود. ژل خشکیده در یک کوره‌ی لوله‌ای در فشار جو در دماهایی از 680°C تا 1000°C در زمان‌های گوناگون با آهنگ گرمایش $5^{\circ}\text{C}/\text{min}$ پخت داده شد. پودرهای پخته شده هر بار مورد پراش‌سنجی پرتو ایکس قرار گرفتند تا کمینه‌ی دمای لازم برای تکفاز شدن نمونه در مدت ۲ ساعت با روش آزمون و خطأ به دست آمد.

پودرهای پخته شده با یک دستگاه پراش‌سنج بروکر^۱ مدل D8 ADVANCE با لامپ مس (Cu K α , $\lambda=1,5406\text{\AA}$) فازیابی شدند. میانگین اندازه‌ی بلورک‌ها از فرمول شر:

$$D = \frac{0.9\lambda}{B \cos\theta}, \quad \lambda=1,5406\text{\AA}$$

محاسبه شد که در آن B پهنه‌ای خط پراش در نیم‌بیشینه‌ی شدت قله‌ی پراش، θ زاویه‌برگ، λ طول موج دستگاه پراش پرتو ایکس و D اندازه‌ی میانگین بلورک‌هاست.

منحنی تغییرات مغناطیش بر حسب دما و منحنی پسماند مغناطیسی نمونه‌ی تکفاز به ترتیب با یک دستگاه ترازوی فارادی و مغناطیش‌سنجدوسانی (VSM)^۲، به دست آمد. الگوهای TG^۳ و DTA^۴ نمونه به دستگاه TG/SDTA851eMETTERTOLEDO با آهنگ گرمایش $5^{\circ}\text{C}/\text{min}$ در فشار هوا و الگوی FT-IR^۵ در گستره‌ی عدد موج Impact Nicolet 400 مدل ۴۰۰-۴۰۰۰ cm^{-1} با دستگاه‌های D به دست آمدند.

1 Bruker

2 Vibrating Sample Magnetometer

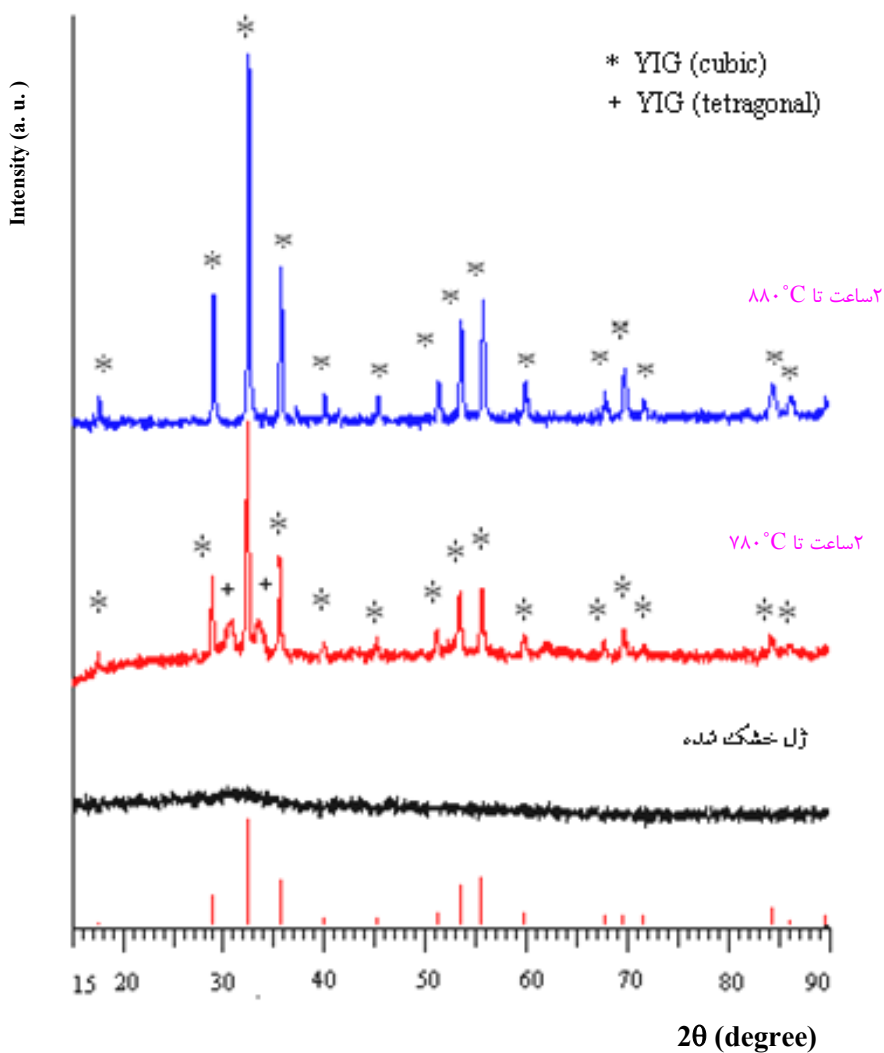
3 Thermal Gravimetry

4 Differential Thermal Analysis

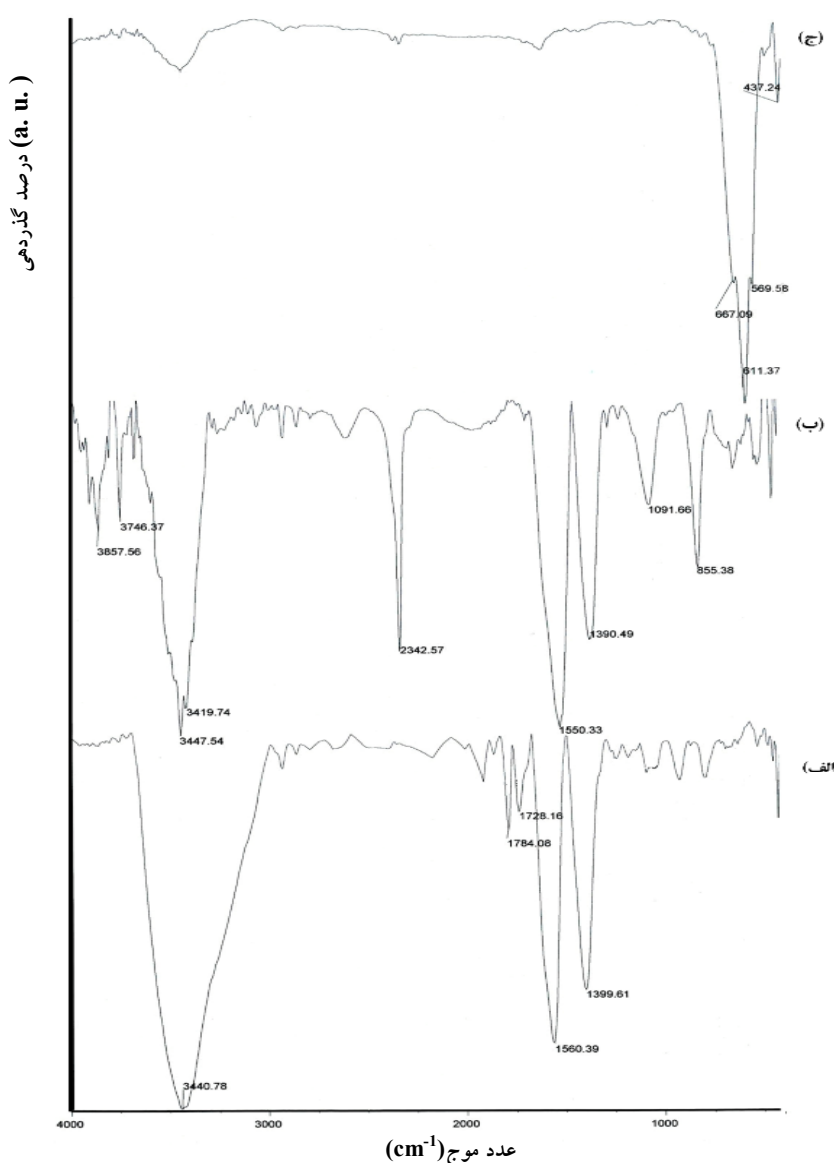
5 Fourier Transform Infrared Spectroscopy

در منحنی TG در این بازه‌ی دمایی همخوانی دارد. کاهش وزن زیاد (۶۹٪) به دلیل تجزیهٔ NO_3^- نیترات‌ها، اتیلن‌گلیکول و خروج آب و مواد آلی از محیط است [۱۰، ۱۱]. بازه‌ی دمایی ۳۰۰ تا 680°C هم‌ارز با کاهش تدریجی ۱۹٪ وزنی است و این کاهش ناشی از خارج شدن گازهای CO_2 , CO و NO به هنگام فرایند شکسته شدن پیوندهای آلی در زمان پخت است [۶]. قله‌ی گرمایی DTA در دمای 767°C , هم‌ارز با تشکیل فازهای مکعبی و چارگوشی YIG است [۱۲] و از این دما تا دمای 885°C , فاز چارگوشی YIG به مکعبی آن تبدیل شده است.

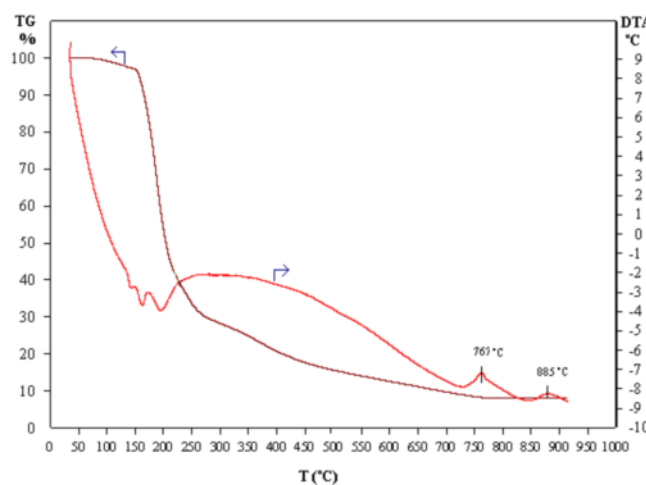
وابسته است [۷]. نواری با عدد موج 855cm^{-1} , نشان‌دهنده‌ی پیوند Fe-O-H است [۸]. نوارهایی با عدددهای موج 569cm^{-1} , 611cm^{-1} , 667cm^{-1} و 437cm^{-1} نوارهای سرشتی YIG هستند [۹] که با افزایش دما پرشدت‌تر می‌شوند. در دمای 880°C نوارهای موجود در الگوهای ژل خشکیده و 680°C ناپدید شده و نوارهای شاخص YIG به خوبی دیده می‌شود. منحنی‌های TG و DTA در شکل ۳ آمده اند. در منحنی DTA، قله‌ها و دره‌هایی در بازه‌ی دمایی ۱۱۰ تا 300°C دیده می‌شود که متناظر با کاهش وزنی در حدود ۶۹٪



شکل ۱ الگوهای پراش پرتو ایکس ژل خشکیده و ژل‌هایی که به مدت ۲ ساعت در دمایهای 780°C و 880°C پخته شده‌اند.



شکل ۲ الگوهای FT-IR مربوط به (الف) ژل خشکیده، (ب) ژل پخته شده در دمای 680°C ، (ج) ژل پخته شده در دمای 880°C .



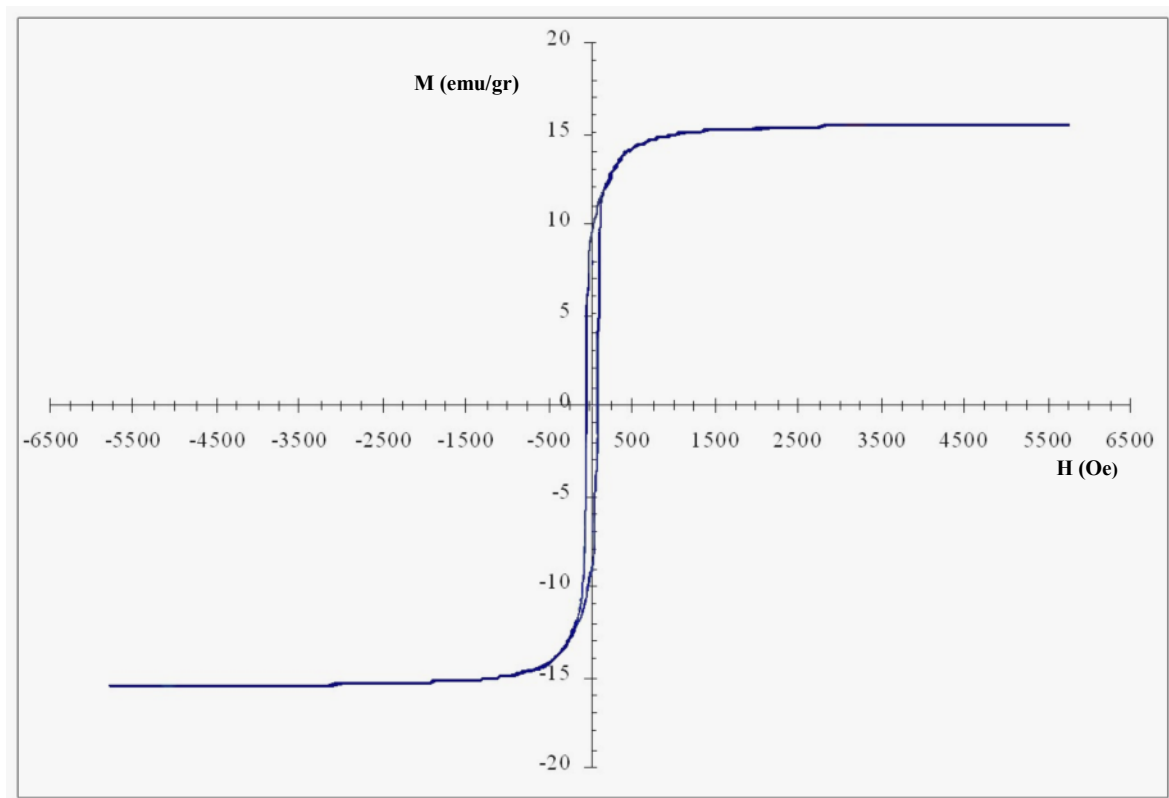
شکل ۳ منحنی DTA و TG ژل خشکیده YIG.

$$M_S = M_{SO} \left\{ \frac{(D - 2t)^3}{D^3} \right\} \Rightarrow M_S^{\frac{1}{3}} = M_{SO}^{\frac{1}{3}} \left\{ 1 - \frac{2t}{D} \right\}$$

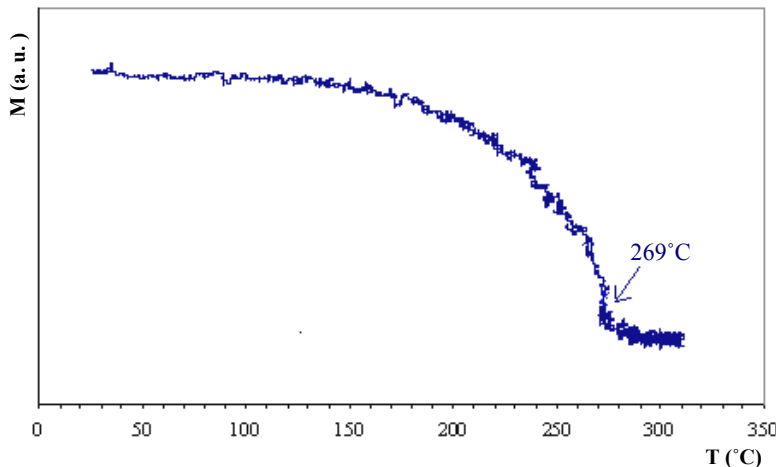
که در آن M_{SO} مغناطش حالت کپهای است. این رابطه نشان می‌دهد که هر چه D کوچک‌تر باشد، مقدار مغناطش اشباعی M_S نیز کاهش می‌یابد که با نتیجه‌ی به دست آمده سازگار است.

تغییرات دمایی مغناطش (M) نانوذرات تکفاز YIG در شکل ۵ آمده است. بنابر این اندازه‌گیری، دمای کوری نمونه‌ی نانو 269°C به دست آمد که در مقایسه با نمونه‌ی کپهای YIG (286°C), پایین‌تر است [۱]. در مقیاس نانو نسبت سطح به حجم افزایش می‌یابد و با توجه به این که گشتاورهای اسپینی جایگاه‌های a و d در لایه‌ی سطحی کاملاً پادموازی نیستند، در نتیجه گشتاورهای سطحی نسبت به گشتاورهای حجمی از نظم کمتری برخوردارند یعنی در لایه‌ی سطحی برخی از اسپین‌ها می‌شوند. بدین ترتیب این کج‌شدگی اسپینی باعث کاهش شدت برهم‌کنش ابرتبدالی و در نتیجه کاهش دمای کوری می‌شود [۱۶].

منحنی پسماند مغناطیسی نانوذرات $\text{Y}_3\text{Fe}_5\text{O}_{12}$ در دمای اتاق در شکل ۴ رسم شده است. با توجه به این منحنی میدان واحداندگی ذاتی نمونه (H_{ci}) برابر با 60 Oe و مغناطش اشباعی نمونه (M_S)، 15 emu/gr ، 27 emu/gr گزارش شده است [۲، ۱۳، ۱۴]. این کاهش را می‌توان ناشی از بی‌نظمی گشتاورها در لایه‌ی سطحی نانوذرات دانست، زیرا در این لایه به دلیل تغییر شرایط محیطی، نظم موجود در همسایگی کاتیون‌ها دستخوش اختلال شده و در نتیجه گشتاورهای مغناطیسی روی سطح نسبت به راستای مغناطش برآیند ذره، زاویه‌های دلخواهی اختیار می‌کنند که منجر به تشکیل لایه‌ی اسپین‌شیشه پیرامون هسته خواهد شد. با فرض این که پوسته فاقد مغناطش ذاتی و دارای ضخامت ثابت بوده و مغناطش هسته‌ی آن با مغناطش ماده‌ی کپهای برابر باشد، آن‌گاه مغناطش ذره‌ای کروی با قطر هسته‌ی D و ضخامت t از رابطه‌ی زیر به دست می‌آید [۱۵]:



شکل ۴ منحنی پسماند مغناطیسی نانو ذرات گارنت ایتریوم آهن در دمای اتاق.



شکل ۵ منحنی تغییرات مغناطش برحسب دما مربوط به نمونه‌ی تکفاز نانومتری YIG در 88.0°C

applications", J. Magn. Magn. Mater. 234 (2001) 409-418.

[8] Giri J., Sriharsha T., Bahadur D., "Optimization of parameters for the synthesis of nano-sized $\text{Co}_{12x}\text{Zn}_x\text{Fe}_2\text{O}_4$, ($0 \leq x \leq 0.8$) by microwave refluxing", J. Mater. Chem. 14 (2004) 875-880.

[9] Hofmeister A.M., Campbell K.R., "Infrared spectroscopy of yttrium aluminum, yttrium gallium, and yttrium iron garnets", J. Appl. Phys. 72 (1992) 638-648.

[10] Zhanxing S., Minghao F., Dehua C., Lixian W., Yangai L., Zhaohui H., "Synthesis of YIG nanopowders by sol-gel method", Key Engin. Mater. 368 (2008) 582-584.

[11] Xu H., Yang H., Xu W., Yu L., "Magnetic properties of Bi-doped $\text{Y}_3\text{Fe}_5\text{O}_12$ nanoparticles", Curr. Appl. Phys. 8 (2008) 1-5.

[12] Fu H.P., Hong R.Y., Wu Y.J., Di G.Q., Xu B., Zheng Y., Wei D. G., "Preparation and Faraday rotation of Bi-YIG/PMMA nanocomposite", J. Magn. Magn. Mater. 320 (2008) 2584-2590.

[13] Matsumoto K., Yamaguchi K., Fuji T., Ueno A., "Preparation of bismuth-substituted yttrium iron garnet powders by the citrate process", J. Appl. Phys. 69 (1991) 5918-5920.

[14] Anderson E. E., "Molecular field model and the magnetization of YIG", Phys. Rev. 134 (1964) 1581-1585.

[15] Muroi M., street R., McCormick P.G., Amighian J., "Magnetic properties of ultrafine MnFe_2O_4 powder prepared by mechanochemical processing", Phys. Rev. 63 (2001) 184414 (1-7).

[16] Kodama R.H., "Magnetic nanoparticles", J. Magn. Magn. Mater. 200 (1999) 359-372.

قدرتانی

نویسنده‌گان این مقاله از اداره‌ی تحصیلات تکمیلی دانشگاه اصفهان برای حمایت‌های مالی از این پژوهش سپاسگزارند.

مراجع

- [1] Morrise A.H., "The physical principles of magnetism", John Wiley & Sons (1965) 511-516.
- [2] Jafelicci Jr M., Godoi R H.M., "Preparation and characterization of spherical yttrium iron garnet via coprecipitation", J. Magn. Magn. Mater. 226 (2001) 1421-1423.
- [3] Vaqueiro P., Crosnier-Lopez M.P., Lopez-Quintela M.A., "Synthesis and characterization of yttrium iron garnet nanoparticles", J. Solid State Chem. 126 (1996) 161-168.
- [4] Lampman G.M., Pavia D.L., Kriz G.S., "Introduction to spectroscopy: A guide for students of organic chemistry", Harcourt Brace College Publishers (1996) 110-115.
- [5] Giri J., Sriharsha T., Asthana S., Gundu Rao T.K., Nigam A.K., Bahadur D., "Synthesis of capped nanosized $\text{Mn}_{1x}\text{Zn}_x\text{Fe}_2\text{O}_4$ ($0 \leq x \leq 0.8$) by microwave refluxing for bio-medical applications", J. Magn. Magn. Mater. 293 (2005) 55-61.
- [6] Hosseini Vajargah S., Madaah Hosseini H.R., Nemati Z.A., "Synthesis of nanocrystalline yttrium iron garnets by sol-gel combustion process: The influence of pH of precursor solution", Mater. Sci. Engin. 129 (2006) 211-215.
- [7] Grasset F., Morent S., Demourgues A., Protier J., Bonnet J., Vekris A., Duguet E., "Synthesis, magnetic properties, surface modification and cytotoxicity evaluation of $\text{Y}_3\text{Fe}_{5-x}\text{Al}_x\text{O}_{12}$ ($0 \leq x \leq 2$) garnet submicron particles for biomedical